## تغير الثأثير الكهرومغناطيسي مع المجال المغناطيسي المسلط لمركبات كهربائية الاجهاد - مغناطيسية الاجهاد

معمر عبد العزيز كامل جامعة تكريت / كلية التربية للعلوم الصرفة / قسم الفيزياء الخلاصة

x), Ni0.5Zno.5 Fe2O4 [NZFO] + (1-x)) وي المتكونه من نوع (x) المتكونه من نوع (x) المتحث تحضيرالمواد الكهرومغناطيسية المتكونه من الإطوار حيث طهر طور منفرد عند قيم (x) وطور ثنائي عند قيم (x) وعن من الإطوار حيث ظهر طور منفرد عند قيم (x) وطور ثنائي عند قيم (x) وعن من الإطوار حيث ظهر الإلكتروني. تم كذلك دراسة تغير ثابت العزل الكهربائي من من الأطوار حيث المتجال المتحال المتحال المتحال (x) كدالة للتردد عند المدى (x) (x) الثابت المسلط أوقد فسر التأثير الكهرومغناطيسي على اساس محتويات طور المركبات المغناطيسية الإجهاد. لوحظ المتحال العناطيسي (x) المتحال المتحال

الكلمات المفتاحيه: - التاثير الكهرومغناطيسي ، مركبات الاجهاد الكهربائي . فحص الاشعة السينية ، تفاعلات الحالة الصلبة.

## Variation of Electromagnetic effect with applied magnetic field for piezomagnetic – piezoelectric composites

Muaamar.a.Kamil

University of Tikrit College of Education for Pure Science Department of Physics

#### **Abstract**

In this paper electromagnetic materials those are composed from ((x), Ni0.5Zn0.5 Fe2O4 [NZFO] + (1-x) PLZT) type in which the value of (x) is constantly changing as follows (0, 0.15, 0.30 .0.45 and 1) and have been prepared by solid state reaction. It is seen from the X-ray diffraction results that, their are types of phases in which the first single phase appears in value of (x = 0 and 1) and the second phase appears in value of(x = 0.15, 0.30 and 0.45. While the microscopic structure has been preformed by electronic microscope scaning. The variation of the dialectic constant ( $^{\circ}\Box$ ) as function of the frequency at the rang (100 Hz to 5 MHz) has also been studied in this research. The static electromagnetic voltage coefficient(EM) has been calculated as a function of applied direct magnetic field (H) the electromagnetic effect has been explaind on the basis of the contents of piezomagnetic, phase we have observed that maximum ME conversion factor is (5.45 mV/cm.Oe) for (15% NZFO + 85% PLZT) composite.

Key word:- Electromagnetic effect, piezoelectric composites, XRD,, solid states reaction.

#### المقدمة

ان المركبات القابلة للتمغنط والتي تحتوي على مواد لها القابلية على الاستجابة للمجالين الكهربائي والمغناطيسي يمكن ان تستخدم في تطبيقات خزن البيانات والمعلومات الاستقطاب والحزم الموجية. مولد الموجات البرمية أ...الخ [2-1]. وهذا ممكن ان يكون دافعا للبحث المركز حول ايجاد مادة في طور الاستعداد لعملية التمغنط تحت ثأثير قوة المجال الكهربائية [3].ان تحديد مزيج مناسب من مواد ذات طور عازل كهربائي ومواد ذات طور مغناطيسي لتحقيق تاثير المجال الكهرو مغناطيسي صعب جدا بسبب:

p-1 تتلك معامل اجهاد مغناطيسي (rite phase) عالي و مقاوميتها (ezomagnetic coefficient fe -1 بسبب ان تكون مقاربة للمواد العازلة للكهربائية (roelectric).

netic coefficient) للمواد العازله للكهربائية (ferroelectric) يجب ان يكون عالي والمقاومية يجب ان تساوى ( $\Omega$ -cm)[4 1012].

3 – ان میکانیکیة الاقتران بین المواد العازله fe – للکهربائیة (ferroelectric) وطور الفرایت (– ferroelectric) یجب ان تکون مثالیة جدا [5].

ولهذه الاسباب قد اعتمدت التركيب التالي Ni(Co,Mn)Fe2O4 -BaTiO3), ( CoFe2O4 - Ba-)

TiO3) , ( NiFe2O4 – BaTiO3) , ( NiFe2O4 – BaTiO3) , ( NiFe2O4 – التحادث (Pb0.93La0.07(Zr0.60Ti0.40)O3 Ni,Co)Fe2O4 – [0.67 Pb(Mg1/3Nb2/3)O3- 0.33)) .[PbTiO3],)[6

ولذالك قد اعتمد في هذا البحث على التراكيب (x) NZFO + (1-x) PLZT) و (NZFO) , (PLZT) الاتية (x=0.15,0.30,0.45) في حالة تقنية تفاعلات الحالة الصلية.

ان مجمل خواص المركبات التي لها القابلية على التأثر بالمجالات الكهرومغناطيسية كخواص العزلية الكهربائية مثلا ممكن ان تكون منتظمة وقابلة للفهم من حيث ميكانيكية التنظيم والتشكيل في المركب.كما ان الخواص المغناطيسية والكهربائية قد درست مع تغير الطور الاحادي والطور الثنائي عند قيم (0.15, 0.30, 0.45).

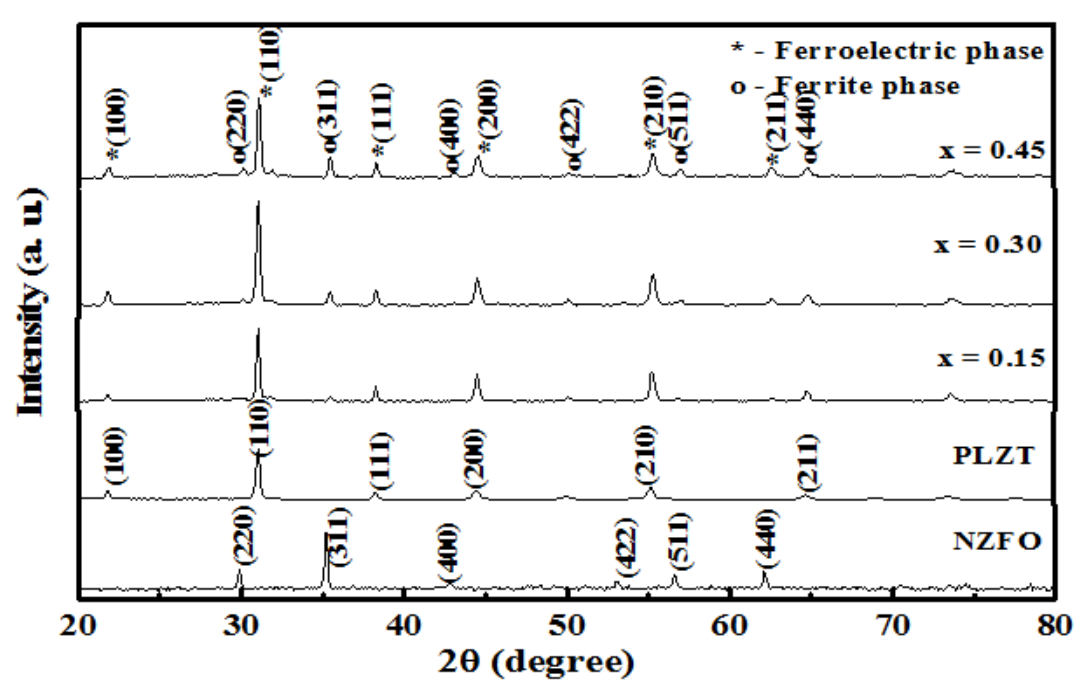
## الجزء العملي:

تم تحضير (NZFO) من خلال استخدام طريقة تفاعلات الحالة الصلبة .وقد استخدمت المركبات العالمة الصلبة .وقد استخدمت المركبات (NiO,, ZnO and, Fe2O3) كمكونات اولية للنهاذج المحضرت. ان هذه الاوكسيدات خلطة وطحنت لمدة ثلاث ساعات ثم بعد ذلك وضعت عند درجة حرارة (OC 900) لمدة (12) ساعة كتسخين اولي ثم لمدة نصف ساعة لتجانس المركبات ثم وضعت عند درجة حرارة (OC 1200).اما تحضير (PLZT) فقد المتخدمة المواد الاولية (OC 1200) لمدة (12) لمدة (OC 1200) لمدة (12)

ساعة. ان المواد الاولية المستخدمة صنفت حسب الاوكسيد في كل مادة وكانت. هذه الاوكسيدات طحنت بواسطة مطحنة الكرات السيراميكية ولمدة(3) ساعات وبعدها سخنت لدرجة حرارة (OC 800) لمدة (4)ساعات .واخيرا لدنت هذه المواد في درجة حرارة (OC 1100) لمدة (12). ان طور( NZFO) وطور (PLZT) قد حدد باستخدام تقنية حيود الاشعة السينية (XRD) .ان المواد الملدنة بعد خلطها قد تم طحنها لمدة (4-3) ساعات باستخدام مطحنة الكرات السيراميكية وبنسب معينة (15 //أ30 // و//45 من طور NZFO و 55 أ 70 ٪ و 85٪ من طور NZFO بالترتيب ). تم بعد ذلك تم كبس الناذج باستخدام مكبس هيدروليكي خاص بسمك (mm 2) وبقطر (mm 10) . واخيرا تم تلدين النهاذج بدرجة حرارة (oC 1150) لمدة (10) ساعات وبردت تدريجيا وببطئ داخل حجرة الفرن . ان التركيب للمواد الاولية المستخدمه وهي في حالة كونها مسحوق تم فحصها باستخدام تقنية حيود الاشعة السينية(XRD) حسب نموذج (model, Bruker D8, Advance) .ان معامل ME) ( dc, (dE/) الكهرومغناطيسي الكهراك الكهرومغناطيسي Keithley, Electrom- تم حسابه باستخدام (dH)H eter (Model, 6514) في المجال المغناطيسي الثابت مستخدمين نفس نظام العمل والترتيب .ان النتائج التي حصلنا عليها تقريبا مشابهة للنتائج التي حصل عليها الباحث [6] مع اختلاف طرق التحضير.

#### النتائج والمناقشه:

الشكل (1) يبين لنا فحص حيود الاشعة السينية (XRD) التركيب الاولى للمواد الاحادية الطور مثل(NZFO,, PLZT) والمركبات التي لاتحتوي على قيمة (0.30, 0.15 x = 0.15 .ان المركبات ذات قيم (0.30, x=0.15 و0.30) صنفت الى مجاميع ( B,A و C) على الترتيب . كل قمم الحيود في فحص الاشعة السينية للمواد (NZFO) و PLZT) قد فسرت ورتبت حسب بیانات (JCPDS) لمرکب -ferrite Ni Zn) و PLZT (7/60/40), بطاقة رقم (234 – 8 و 46-0504) والتي بينت ان الترتيب البلوري للنهاذج أ a cubic sp –) على تركيب مكعب مزدوج NZFO nel structure) اما عينات PLZT فهي ذات تركيب tetragonal, perovskite) بيروفسكايت رباعي structure) . لاتوجد في قمم حيود الاشعة السينية أي قمه غير مصنفت تشير الى غياب أي طور من الاطوار حتى بعد عمليت التلبيد للمركبات في درجة حرارة ( oC 1150). ان فحص حيود الاشعة السينية بين انه شدة القمم الظاهرة تزداد للمركب(NZFO) بزيادة نسبة تركيز مركب (NZFO) في العينات المنتجه. وهذه النتيجة متفقة مع نتيجة الباحث [7] .ان معامل الشبيكة NZFO) ( $a = 4.0815 \text{ Å}_{,,} \text{ c}$ ) للطور النقى للمركب .(=4.0845 Å, and c/a = 1.0007)

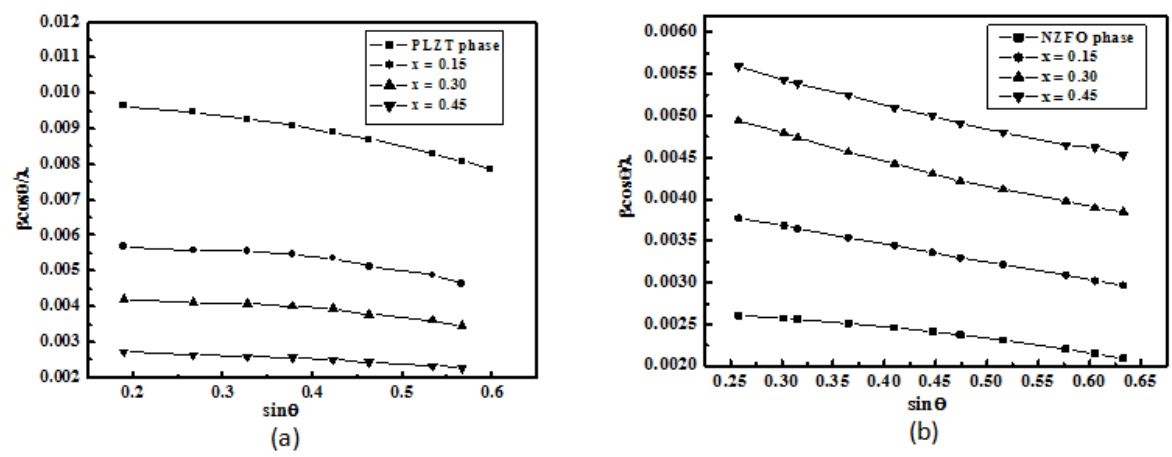


الشكل . ١: يمثل حيود الاشعة السينية لطور (NZFO) النقى وطور (PLZT)ومركباتها

ان اجهاد الشبيكة و معدل الحجم البلوري يمكن قياسهما باستخدام معادلة (8] (Hall equation].

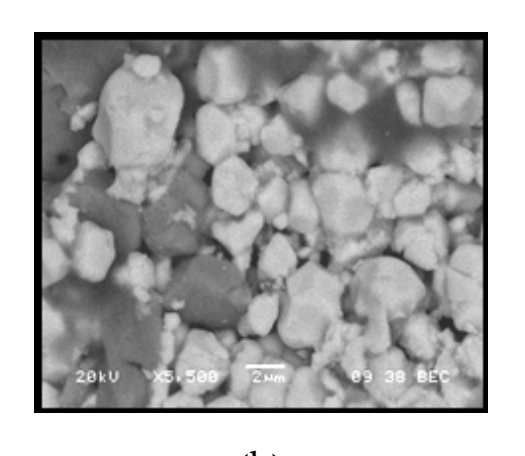
$$\frac{\beta \cos \theta}{\lambda} = \frac{1}{\varepsilon} + \frac{\eta \sin \theta}{\lambda} \tag{1}$$

 $=\beta$  .(effective strain).  $=\pi$  !(effective crystallite size).  $=\pi$  !(effective crystallite size).  $=\pi$  !(effective crystallite size).  $=\pi$  !(effective crystallite size).  $=\pi$  !(effective crystallite size) !(full width at half maximum) |  $\pi$  !(full width at half and it is a size of the size o

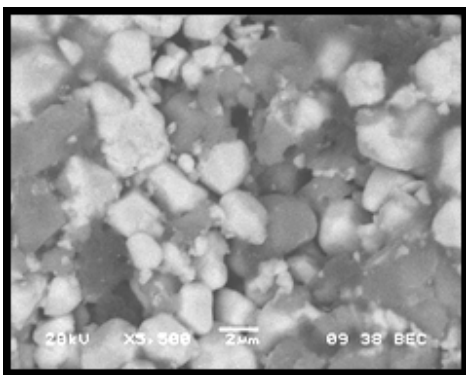


الشكل . ٢: يمثل البنية التركيبية تعتمد على جهد الشبيكة (a) طور DLZT) طور NZFO الموجودة في مركبات EM

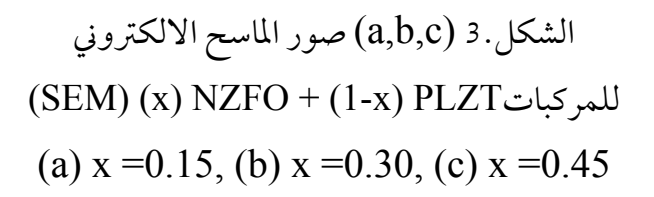
ان فحص جهاز الماسح الالكتروني (SEM) للبنية البلورية للمركبات جميعها موضح في الشكل (c-a)3) الذ تبين الصور مراحل الاختلاف بين الاطوار لمركب (NZFO), و PLZT). اذ تمثل المناطق الفاتحة اللون مركب (PLZT) والمناطق الغامقة اللون مركب (NZFO) كها توضح بان طوري (NZFO, و PLZT) قد مزجا بصورة عشوائية [9].

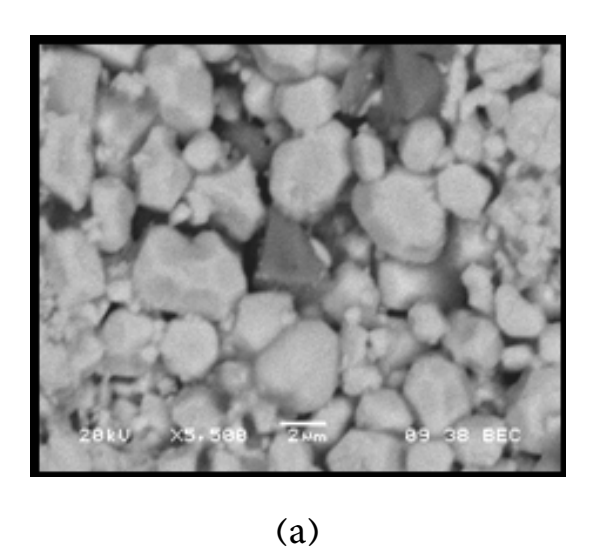


(b)

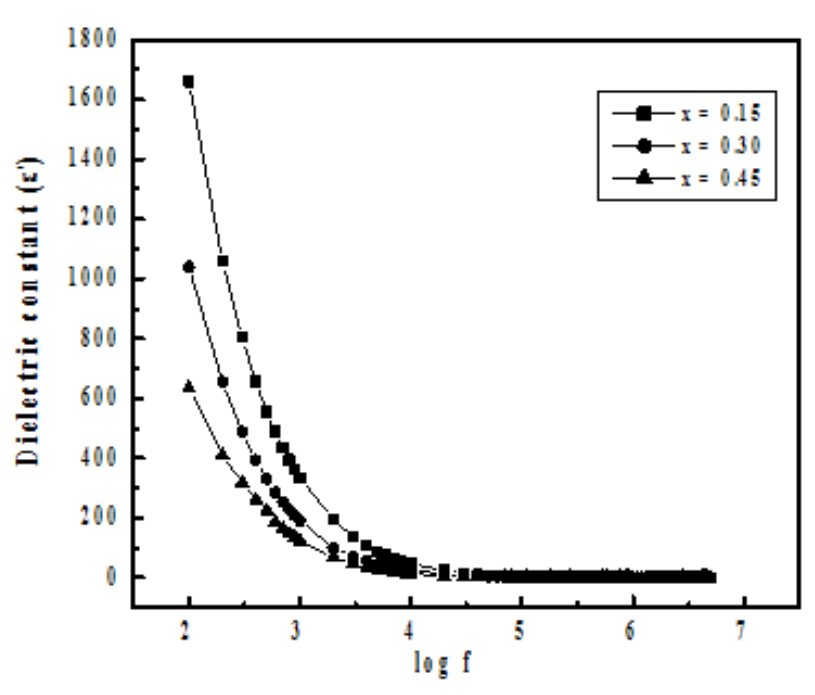


(c)





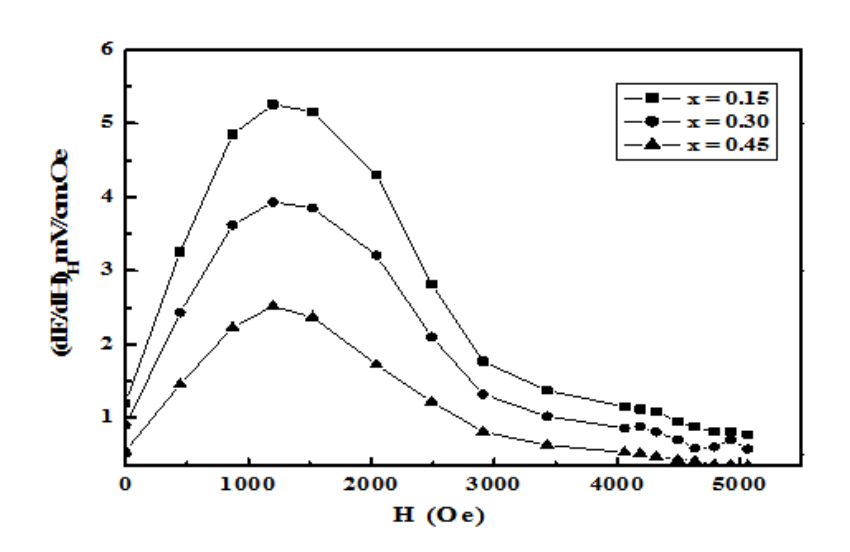
الشكل (4) يوضح التغير في ثابت العزل كدالة للتردد وللمركبات جميعهاعند درجة حرارة الغرفة .ان من الملاحظ ان ثابت العزل يقل تدريجيا مع زيادة التردد حيث ان التشتت واضح مع الترددات الواطئة ولهذا السبب نحصل على حد الاشباع في الترددات العالية .ان جميع المركبات اظهرت حالة التشتت بسبب وجود نوع من انواع الاستقطاب الظاهري حسب ( Maxwell-Wagner) اذ يتوافق مع نظرية الظواهر المغناطيسية للعالم ( 10] (Koops].أان القمم الظاهرة في الترددات الواطئة ينسب لاختلاف انواع الاستقطاب (الكتروني أذري أبيني أليوني أ...الخ).ان اعظم قيمة لثابت العزل ظهرت لدينا في الترددات الواطئة وهذا يفسر على اساس تغير مواقع الاستقطاب بسبب عدم تناسق تركيب العازل .ان عدم التناسق ظهر في العينات بسبب (الشوائب أالفجوات أترتيب الدقائق) [11] . اما في الترددات العالية يبقى ثابت العزل غير معتمد على التردد بسبب عجز المزدوج الالكتروني عن التوافق مع المجال الكهربائي الناتج من التيار المتناوب [12].



الشكل (٤) يوضح التغير في ثابت العزل('  $\square$ ) مع التردد للمركبات ذات قيمة ( $x = 0.7 \cdot 0.7 \cdot$ 

اما الشكل (5) يوضح ان قيم المجال المغناطيسي تعتمد على قيمة معامل ثابت الفولتيه (dE/dH) وهي متشابهة في كل المركبات المدروسة في هذا البحث .ان الاستنتاجات التي حصلنا عليه من هذا الشكل تبين معامل الفولتيه للمجال المغناطيسي يزداد مع زيادة المجال المغناطيسي .اذ تبين انه حصل لدينا حالة من الاشباع بحدود حوالي (Oe 1200) في النموذج (Nio.5Zno.5Fe2O4). وفي النهاذج جميعها اعلى مجال مغناطيسي حصلنا عليه

ايضا بحدود (Oe 1200) وان المجال الثابت يدلل على حدوث طور المغناطيسية.وهذا ينتج عنه مجال كهربائي ثابت في طور المادة القابلة للتمغنط (piezoelectric phase) و بالتالي يجعل قيمة (dE/dH) تقل بزيادة المجال المغناطيسي[13].من ذلك نستنتج حصول حالة الاشباع المغناطيسي والتي تؤدي الى استجابة تلك المواد للمجالات المغناطسية الضعيفة [16-15].



الشكل (5) يمثل التغير في ثابت الفولتيه للمجال المغناطيسي (EM) مع المجال المغناطيسي المسلط للمركبات ((x NZFO + (1-x) PLZT

# المركبات. ان تغيير نسبة (NZFO) يؤدى الى تغيير ان المركبات الحالية حضرت بتقنية تفاعلات الحاله ثابت العزل وهذا كان واضحا. ان اعلى قيمة لثابت cm.Oe) وهذه القيمة ظهرت في المركب (//Cm

#### المصادر

.(NZFO, +85% PLZT)

[1] J. P. Rivera, H. Schmid, J. Appl phys, 70(1991) 6410.

[2] K. Zhao, K. Chen, Y. R. Dai, J. G. Wan and J. S. Zhu, J. Appl. Phys. Lett., 87 (2005)

### الاستنتاجات

mV / 5.45 ) بلغ (ME) بلغ وتبين انها تمتلك فقط طورالفيرايت (e - 1 المجال الكهرومغناطيسي rite phase) NZFO وطور (ferroelectric phase) لا يوجد معها اى شوائب او تداخل في الاطوار.ولحساب الاجهاد فقد استخدمت معادلة (Hall equation) والتي اظهرت الميل السالب لكلا الطورين في مركبات الكهرومغناطيسية (ME) والتي بدورها تؤكد وجود اجهاد الشد .ان ثابت العزل مع التردد اظهر خاصية التشتت للاستقطاب في جميع

Ye, Y. Lin, J. Appl. Phys., 94(2003) 5930.

[13] J. Van Den Boomgaard, A. M. J. G. Van Run and J. Van Suchtelen, Ferroelectrics, 10 (1976) 295.

[14] Abdul Samee Fawzi, A. D. Sheikh,V. L. Mathe, Solid State Sci. (2009) In press.[15] E. W. Gorter, Philips Res. Rept. 9(1954) 321.

[16] Jing-So, K. K. Sickafus and J. M.Wills, J. Am. Ceram. Soc. 82 (1999) 3279.

162901.

[3] Broutman and Krock "Modern Composite Materials" (Addison Wiesley Publishing Company, California, London), (1967).

[4] D. Arif Sheikh and V. L. Mathe, Smart Mater. Struct, 18 (2009) 065014.

[5] K. K. Patankar, V. L. Mathe, A. N. Patil, S. A. Patil, S. D. Lotke, Y. D. Kolekar and P. B. Joshi, Journal of Electroceramics, 6 (2001) 115.

[6] C. M. Kanamadi, L. B. Pujari and B. K. Chougule, J. Magn. Mater. 295 (2005) 139.

[7] K. K. Patankar, P. D. Dombale, V. L. Mathe, S. A. Patil and R. N. Patil, Mater. Sci. Engg. B 8 (2001) 53.

[8] H. Gene Haertling, J. Am. Ceram. Soc., 82 (1999) 797.

[9] B. Vishwanathan and V. R. K. Murty, Ferrite Materials: Sciience and Technology, Narosa Publishing House, Mumbai (1990).

[10] C. G. Koops Phys.Rev. 83(1951) 121.

[11] M. Kiyotake, W. Manfred, J. Appl. Phys. Let., 81( (2002) 100.

[12] C. W. Nan, N. Cai, L. Liu, J. Zhai, Y.